

LEGENDA

| COR | LEGENDA | FORMAÇÃO | LITOTIPO |
|---------|--|--|---|
| PP4aj | Complexo Jamarí | Complexo Jamarí | Enderbite, Quartzo-Diorito, Anfíbrito, Migmatito, Ortognaisse Granodiorítico, Ortognaisse Tonalítico |
| EP4aj | Complexo São Vicente | Complexo São Vicente | Granito, Adamello |
| C2P1a | Formação Aquidauana | Formação Aquidauana | Arenito, Damaquia, Fofelhe, Siltito |
| C20b | Formação Fazenda da Casa Branca | Formação Fazenda da Casa Branca | Arcososo, Quartzo-Arenito, Argilito, Conglomerado, Fofelhe |
| D1f | Fumas | Fumas | Arenito |
| D9g | Formação Ponta Grossa | Formação Ponta Grossa | Fofelhe, Arenito Fino |
| EN4f | Coberturas detrito-lateríticas com concreções ferruginosas | Coberturas detrito-lateríticas com concreções ferruginosas | Arenito, Argila, Lenticla, Cascaho |
| EN4h | Formação Cachoeirina | Formação Cachoeirina | Arenito, Argilito |
| C1pb | Formação Pimenta Bueno | Formação Pimenta Bueno | Arenito, Conglomerado, Fofelhe, Siltito |
| J1B_sj | Formação Anari | Formação Anari | Basalto |
| MP3m | Formação Magalhãesópolis | Formação Magalhãesópolis | Rocha Calcossilicática, Quartzo, Paragneisse, Mica-xisto |
| J1a | Formação Rio Arua | Formação Rio Arua | Arenito Ortognatítico |
| J1K1bt | Formação Bolcatu | Formação Bolcatu | Quartzo-Arenito |
| K1B_sj | Formação Serra Geral | Formação Serra Geral | Basalto, Dacito |
| K2ar | Formação Araguaia | Formação Araguaia | Siltito, Arenito Fino |
| K2Et | Formação Itaquari | Formação Itaquari | Arenito, Arenito Conglomerático |
| K2Ba | Formação Santo Anastácio | Formação Santo Anastácio | Arenito |
| K2m | Formação São José de Naveas | Formação São José de Naveas | Conglomerado, Arenito Fino |
| K2m | Formação Marília | Formação Marília | Arenito |
| K2p | Formação São José do Rio Preto | Formação São José do Rio Preto | Andesito, Basalto, Rodacito |
| K2v | Formação Vale do Rio do Peixe | Formação Vale do Rio do Peixe | Arenito, Argilito, Arenoso |
| K2v | Formação Verdinho | Formação Verdinho | Arenito, Siltito, Conglomerado |
| K2v | Formação Utiariti | Formação Utiariti | Arenito Fino |
| MP1g_p | Suíte Intrusiva Serra da Providência | Suíte Intrusiva Serra da Providência | Charnockito, Gabrdite, Mangruto, Monzogranito, Sienogranito |
| MP1g_a | Suíte Intrusiva São Antônio | Suíte Intrusiva São Antônio | Agilito, Damaquia, Monzogranito, Pegmatito, Quartzo-Monzonito, Sienogranito |
| MP1r_c | Suíte Metamórfica Rio Crespo | Suíte Metamórfica Rio Crespo | Amfibolito, Metamáfica, Gneisse Granítico, Granulito Charnockítico |
| MP1D_a | Suíte Intrusiva Rio Branco | Suíte Intrusiva Rio Branco | Rodacito, Gabro, Olivina Gabro, Quartzo-Gabro, Quartzo-Monzonito, Quartzo-Sienito |
| MP1g_c | Suíte Intrusiva Cachoeirina | Suíte Intrusiva Cachoeirina | Granodiorito, Monzogranito, Tonalito |
| MP1g_h | Suíte Intrusiva Santa Helena | Suíte Intrusiva Santa Helena | Agilito, Granodiorito, Monzogranito, Pegmatito, Sienogranito, Tonalito |
| MP1f | Grupo Pontes e Lacerda | Grupo Pontes e Lacerda | Amfibolito, Filito, Xisto, Quartzo Ferruginoso, Metabasalto, Metafilo |
| MP200j | Suíte Metamórfica Colorado | Suíte Metamórfica Colorado | Metamonzogranito, Gneisse Granítico, Granoblastito Monzogranítico |
| MP200m | Suíte Metamórfica Colarado | Suíte Metamórfica Colarado | Mafio aluminoso, Leucogranito, Monzonito, Xisto Ultramáfico |
| MP2g_ac | Suíte Intrusiva Alto Candearas | Suíte Intrusiva Alto Candearas | Charnockito, Monzogranito, Sienitólito, Sienogranito, Augen gneisse |
| NP1a | Grupo Aquapel | Grupo Aquapel | Filito, Ardósia, Metarenito Quartzoso, Metaconglomerado suportado por Clasto, Metassiltito, Conglomerado Oligomítico, Arenito |
| NP1g_a | Suíte Intrusiva Guapé | Suíte Intrusiva Guapé | Monzogranito, Sienogranito |
| NP3ars | Formação Araras - Membro Superior | Formação Araras - Membro Superior | Dolomito |
| NP3a | Formação Diamantino | Formação Diamantino | Argilito, Fofelhe, Siltito |
| NP3b | Formação Itacarambaia | Formação Itacarambaia | Arenito, Siltito |
| NP3x | Formação Bauri | Formação Bauri | Fofelhe, Metarenito, Metassiltito |
| NP3u3 | Grupo Cuatá - Subunidade 3 | Grupo Cuatá - Subunidade 3 | Filito |
| NP3u4 | Grupo Cuatá - Subunidade 4 | Grupo Cuatá - Subunidade 4 | Metaconglomerado |
| NP3u5 | Grupo Cuatá - Subunidade 5 | Grupo Cuatá - Subunidade 5 | Filito |
| NP3u6 | Grupo Cuatá - Subunidade 6 | Grupo Cuatá - Subunidade 6 | Filito |
| NP3u7 | Grupo Cuatá - Subunidade 7 | Grupo Cuatá - Subunidade 7 | Metaconglomerado |
| NP3u8 | Grupo Cuatá - Subunidade 8 | Grupo Cuatá - Subunidade 8 | Mármora Dolomítico, Mármora Calcítico |
| NP3u9 | Grupo Cuatá - Subunidade Indivisa | Grupo Cuatá - Subunidade Indivisa | Filito, Quartzo, Metarenito |
| NP3u | Formação Puga | Formação Puga | Arenito, Damaquia, Lamito |
| NP3j | Coberturas detrito-lateríticas ferru | Coberturas detrito-lateríticas ferru | Agglomerado, Arenito, Argila, Lenticla |
| NP3k | Coberturas sedimentares indiferencia | Coberturas sedimentares indiferencia | Arenito, Argila, Lenticla, Cascaho, Siltito |
| PP4aj | Complexo Alto Guaporé | Complexo Alto Guaporé | Granodiorito, Tonalito, Anfíbrito, Migmatito, Ortognaisse, Xisto, Quartzo, Paragneisse |
| PP4aj | Complexo Jamarí | Complexo Jamarí | Enderbite, Quartzo-Diorito, Anfíbrito, Migmatito, Ortognaisse Granodiorítico, Ortognaisse Tonalítico |
| PP4aj | Ambolito, Xenólito, Rocha Calcossilicática, Quartzo Ferruginoso, Gneisse aluminoso, Paramigmatito, Quartzo Xisto | Ambolito, Xenólito, Rocha Calcossilicática, Quartzo Ferruginoso, Gneisse aluminoso, Paramigmatito, Quartzo Xisto | Arenito, Siltito, Siltito Arenoso |
| P1p | Formação Palermi | Formação Palermi | Arenito, Siltito |
| P311c | Formação Courubatal | Formação Courubatal | Arenito, Siltito |
| Q1f | Formação Ica | Formação Ica | Al-vio, Arenito, Argila, Linhito, Turfa, Cascaho |
| Q1p1 | Formação Pantanal - facies terras aluvion | Formação Pantanal - facies terras aluvion | Arenito, Argila, Lenticla, Sedimento Detrito-Laterítico, Siltito |
| Q1p2 | Formação Pantanal - facies depósitos aluvion | Formação Pantanal - facies depósitos aluvion | Arenito, Argila, Siltito |
| Q2a | Depósitos aluvionares | Depósitos aluvionares | Arenito, Cascaho |
| Q20a | Depósitos pantanosos | Depósitos pantanosos | Arenito, Argila, Siltito |
| MP200j | Suíte Metamórfica Colorado | Suíte Metamórfica Colorado | Formação Ferritosa Bandada |
| MP200j | Suíte Metamórfica Colorado | Suíte Metamórfica Colorado | Hornblendito, Metagabro |
| MP3g_p | Suíte Intrusiva Rio Parodi | Suíte Intrusiva Rio Parodi | Agilito, Monzogranito, Pegmatito, Quartzo-Monzonito, Quartzo-Sienito, Sienogranito |
| MP3g_m | Suíte Intrusiva Rondonia (Young Granites) | Suíte Intrusiva Rondonia (Young Granites) | Granito, Granulito, roca em Quarto, Monzogranito, Sienito, Sienogranito, Albita Granito |
| MP3g_ac | Suíte Intrusiva Santa Clara | Suíte Intrusiva Santa Clara | Trachito, Monzogranito, Pegmatito, Quartzo-Monzonito, Sienogranito, Albita Granito, Microgranito |
| S1m | Formação Rio Rolim de Moura | Formação Rio Rolim de Moura | Arcososo, Arenito, Fofelhe, Siltito, Calcário Dolomítico, Conglomerado Polimítico |

Recursos Minerais

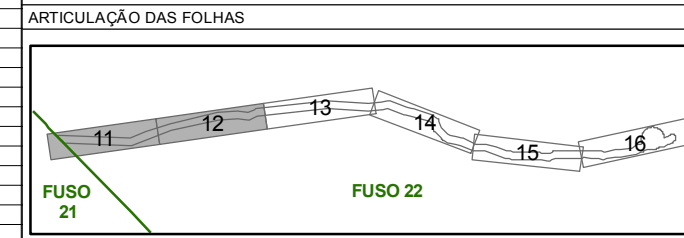
- Depósito
- Indício
- Ocorrência
- Cavernas
- Fósseis

Convenções

- Anticlinal ou antiformal normal
- Antisinal com cimentação
- Branquiantiforme
- Branquiforme
- Braquianticlinal ou braquiantiforme
- Braquissinclinal ou braquissiniforme
- Falha extensional (normal)
- Falha indisciplinada
- Falha interpretada pela geofísica
- Falha ou fratura
- Falha ou zona de cisalhamento extensional
- Falha ou zona de cisalhamento indiscriminada
- Falha ou zona de cisalhamento transcorrente dextral
- Falha ou zona de cisalhamento transcorrente sinistral
- Falha ou zona de cisalhamento transpassional
- Lineamentos estruturais: traços de superfícies S
- Lineamentos obtidos pela geofísica: C-entometria;
- Sinclinal ou siniforme normal
- Zona de cisalhamento indiscriminado
- Zona de cisalhamento transcorrente
- Pontos de Campo

Convenções (CONTINUAÇÃO)

- SEDE MUNICIPAL / LOCALIDADES
- CAMPO DE POUSSO
- CURSO D'ÁGUA
- CORPO D'ÁGUA / BARRAGEM
- TERRENO SUJEITO A INUNDAÇÃO
- DIREÇÃO DO FLUXO D'ÁGUA
- KIREIA / ESCOLA / CEMITÉRIO
- Ocupação Humana
- CONVENÇÕES ADICIONAIS
- TRAÇADO DO EMPREENDIMENTO
- VERTICE
- LIMITE DE INFLUÊNCIA INDIRETA DOS MEIOS FÍSICO E BIÓTICO (FAIXA COM 10KM DE LARGURA)



REFERÊNCIAS

- Cartas topográficas do IBGE e da DSG, nas escalas 1:250.000, 1:100.000 e 1:50.000; Revisão da malha viária e identificação de novas localidades a partir de mapas rodoviários estaduais do DNIT; Atualização da hidrografia e malha viária a partir da interpretação visual de imagens Landsat 5 TM e consultas ao programa Google Earth - Mapa Geológico do Brasil 1:1.000.000 (CPRM, 2004); Base de Dados Geoespecializados do CECAVICMBio (01/03/2010); Base de Dados Paleontológicas - BASE PALED (CPRM, 03/2010).

Escola Gráfica

PROJEÇÃO UNIFORME TRANSVERSA DE MERCATOR
 Datum Horizontal : SAD-69
 Origem da quilometragem UTM : Equador e Meridiano 51° W. de Gr.*
 acessadas as constantes 10.000km e 500km, respectivamente.

NORTE BRASIL Estação Transmissora de Energia S.A.

ESTACÃO Estação Transmissora de Energia S.A.

Cartografia Digital: **BMP INFO** / **CHES** / **CHES**

Projeto: Consórcio Ambiental Madeira / Data: Março/2010

Aprovado: Consórcio Ambiental Madeira / Data: Abril/2010

CONSÓRCIO AMBIENTAL MADEIRA

CNEC / **Ecology Brasil** / **bio dinâmico** / **JGP**

LT 600K CC COLETORA PORTO VELHO - ARARAQUARA 2, Nº 02

ESTUDO DE IMPACTO AMBIENTAL - EIA

ILUSTRAÇÃO 06
GEOLOGIA, CAVIDADES NATURAIS, PALEONTOLOGIA E JAZIMENTOS MINERAIS

Escala do Original: 1:250.000 / Data: Abril/2010

Mapa: cc_238_Tema_06_Geologia_C2_FL06.mxd / Folha: 11 e 12/16